

А К А Д Е М И Я Н А У К С С С Р  
СИБИРСКОЕ ОТДЕЛЕНИЕ  
А В Т О М Е Т Р И Я

№ 1

1980

КРАТКИЕ СООБЩЕНИЯ

УДК 548.0 : 535.3.081-2

Р. С. АЛЕКСАНДРОВ, А. Т. АНИСТРАТОВ, Ю. Н. ГРЕХОВ,  
Н. Г. МАЛЫШЕВСКИЙ, А. Г. СИЗЫХ

(Красноярск)

ОПТИЧЕСКИЕ СВОЙСТВА МОНОКРИСТАЛЛОВ  $\text{Bi}_{12}\text{GeO}_{20}$ ,  
ЛЕГИРОВАННЫХ АЛЮМИНИЕМ И БОРОМ

В последние годы проявляется повышенный интерес к кристаллам типа силикенита  $\gamma$  —  $\text{Bi}_2\text{O}_3$ , принадлежащим к арентическому классу 23 кубической сингонии [1] и обладающим комплексом полезных для практических применений физических свойств: высоким коэффициентом электромеханической связи [2], хорошим акустооптическим качеством [3], большим электрооптическим коэффициентом [4], фотопроводимостью [5] и высоким темновым электросопротивлением [6]. Кристаллы этого семейства, преимущественно германосилленит  $\text{Bi}_{12}\text{GeO}_{20}$  и силикосилленит  $\text{Bi}_{12}\text{SiO}_{20}$ , используются в пространственно-временных модуляторах света типа PROM [7] и находят применение в устройствах голограммической записи с большим временем хранения информации [8]. Изучение оптических свойств этих материалов приобретает, таким образом, не только научный, но и непосредственный практический интерес.

Недавно проведенные исследования  $\text{Bi}_{12}\text{SiO}_{20}$  показали, что небольшие добавки элементов третьей группы, например алюминия, существенно влияют на свойства материала, расширяя область прозрачности и уменьшая акустические потери [9, 10]. В настоящей работе изучено влияние малых примесей алюминия и бора на коэффициент поглощения, показатель преломления и оптическую активность  $\text{Bi}_{12}\text{GeO}_{20}$  в видимой области спектра. С помощью легирования решена задача оптимизации свойств этого материала для применения в системах оптической обработки информации.

**Методика измерений.** Монокристаллы  $\text{Bi}_{12}\text{GeO}_{20}$  были выращены из расплава стехиометрического состава методом Чохральского [11, 12] на установках типа «Редмет» в платиновых тиглях. Выращивание проводилось в направлении [110], при скорости вращения 10 об./мин. Полученные кристаллы оптического качества имели длину 200 мм, диаметр 25–30 мм. Легирование алюминием и бором проводилось путем введения в шихту окислов  $\text{Al}_2\text{O}_3$  и  $\text{B}_2\text{O}_3$  в концентрациях до 0,5 вес. %. Содержание неконтролируемых примесей Al и B в исходных реактивах не превышало 0,010%, поэтому минимальная концентрация легирования была выбрана равной 0,025%. В зависимости от содержания примеси алюминия кристалл изменяет окраску от желтой до бесцветной. Кристаллы с примесью бора остаются желтыми.

Для измерений коэффициента поглощения и оптической активности использовались ориентированные рентгеновским методом с точностью  $\pm 10'$  оптически полированные пластинки толщиной 0,7–2 мм и минимальной площадью  $15 \times 15 \text{ mm}^2$ . Измерения показателя преломления проводились на призмах с преломляющим углом  $\sim 15^\circ$ .

Коэффициенты поглощения определялись по спектрам пропускания и экстинкции кристаллов  $\text{Bi}_{12}\text{GeO}_{20}:\text{Al}$  и  $\text{Bi}_{12}\text{GeO}_{20}:\text{B}$ , которые записывались на спектрофотометрах типа СФД-2, СФ-26 и SPECORD UV-VIS. При расчете коэффициентов поглощения учитывалась поправка на отражение, вычисленная из показателя преломления.

Показатели преломления  $\text{Bi}_{12}\text{GeO}_{20}:\text{Al}$  и  $\text{Bi}_{12}\text{GeO}_{20}:\text{B}$  измерялись в интервале длин волн 400–700 нм по методу призмы [13]. Источником света служила кино-проекционная лампа накаливания, свет необходимой длины волны выделялся монохроматором типа ДМР-4. Преломляющий угол призмы и угол отклонения света измерялись гoniометром-спектрометром типа ГС-5. Передняя грань призмы устанавливалась перпендикулярно падающему световому пучку. Показатель преломления определялся с точностью  $\pm 1 \cdot 10^{-4}$ .

Для исследования дисперсионной зависимости удельной оптической активности  $\rho(\lambda)$  была использована схема фотоэлектрического поляризатора. Источником света служила проекционная лампа, требуемая длина волны выделялась монохроматором типа УМ-2. Образец помещался между поляризатором и анализатором,

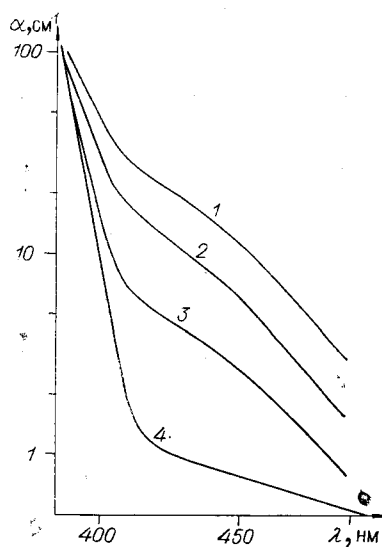


Рис. 1. Зависимость коэффициента поглощения  $\alpha$  от длины волны  $\lambda$ :  
1 — нелегированный  $\text{Bi}_{12}\text{GeO}_{20}$  и  $\text{Bi}_{12}\text{GeO}_{20}:\text{Al}$ ; 2 — 0,05%; 3 — 0,075%; 4 — 0,1 вес. %  $\text{Al}_2\text{O}_3$ .

поскольку к нему прикладывается большое электрическое поле. В случае записи голограмм с увеличением рабочей длины растет дифракционная эффективность голограмм. Поэтому очень важно резкое снижение коэффициента поглощения  $\text{Bi}_{12}\text{GeO}_{20}:\text{Al}$  в рабочей области спектра 400—600 нм. Например, при работе на длине волны 420 нм и коэффициенте неравномерности  $m=0,7$  [6] максимально допустимая рабочая длина составит для нелегированного материала 160 мкм, а для легированного 0,1 вес. %  $\text{Al}_2\text{O}_3$  — уже 3,2 мм. При записи голограммы на длине волны 514,5 нм максимально допустимая рабочая длина при легировании 0,1 вес. %  $\text{Al}_2\text{O}_3$  составит около 10 мм, что даст существенный выигрыш в дифракционной эффективности.

Результаты измерений показателей преломления  $\text{Bi}_{12}\text{GeO}_{20}:\text{Al}$  и  $\text{Bi}_{12}\text{GeO}_{20}:\text{B}$  показаны на рис. 2, из которого видно, что легирование не приводит к существенному изменению дисперсионного поведения показателя преломления в видимой области спектра. На рис. 3 представлена дисперсионная зависимость  $\rho(\lambda)$ . Оптическая активность всех образцов независимо от легирования оказалась одинаковой в пределах экспериментальной погрешности. Наблюдается также хорошее согласие с [14, 15]. Аномальной дисперсии  $\rho(\lambda)$  [4] не обнаружено.

Сопоставление результатов измерения дисперсии оптической активности, показателя преломления и спектров поглощения в легированных алюминием и бором кристаллах  $\text{Bi}_{12}\text{GeO}_{20}$  с характеристиками нелегированного материала показывает, что легирование заметно не влияет на положение полосы фундаментального поглощения.

Интересно выяснить причины уменьшения коэффициента поглощения  $\text{Bi}_{12}\text{GeO}_{20}:\text{Al}$  в области 410—500 нм. Недавно было показано [16], что поглощение  $\text{Bi}_{12}\text{GeO}_{20}$  в этой области обусловлено экспоненциальной формой края поглощения из-за непрямых межзонных переходов с наполненной полосой поглощения 420—480 нм, связанной, по-видимому, с кремниевыми вакансиями [8, 9]. В  $\text{Bi}_{12}\text{GeO}_{20}$  фактор заполнения решетки атомами Ge составляет  $0,91 \pm 0,08$  [1]. Поэтому можно думать, что полоса поглощения в области 440 нм обусловлена германиевыми вакансиями. Введение в материал примеси алюминия стабилизирует структуру силленита [17] и, как следствие, приводит к уменьшению интенсивности полосы поглощения.

Таким образом, легирование алюминием в концентрации 0,075—0,1 вес. % существенно улучшает оптические характеристики  $\text{Bi}_{12}\text{GeO}_{20}$ .

которые были снабжены отсчетными лимбами с точностью  $\pm 1'$ . В качестве пуль-индикатора использовался фотоэлектронный умножитель типа ФЭУ-79 в сочетании с усилителем типа Ф116/2. Погрешность при определении удельной оптической активности не превышала  $\pm 0,3\%$ .

**Экспериментальные результаты и их обсуждение.** Частотная зависимость коэффициента поглощения в области спектра 400—500 нм ( $25000—20000 \text{ см}^{-1}$ ) показана в полулогарифмическом масштабе на рис. 1, из которого видно, что легирование  $\text{Bi}_{12}\text{GeO}_{20}$  алюминием оказывает сильное влияние на поведение  $\alpha(v)$ . Уже при небольшом содержании  $\text{Al}_2\text{O}_3$  (в пределах 0,075—0,1 вес. %) происходит резкое уменьшение коэффициента поглощения в области 410—500 нм. При дальнейшем увеличении содержания  $\text{Al}_2\text{O}_3$  заметных изменений в дисперсионном поведении  $\alpha(v)$  не происходит. Значения коэффициента поглощения при различном содержании  $\text{Al}_2\text{O}_3$  для нескольких важных длин волн приведены в таблице. В то же время легирование бором не оказывает достаточно заметного влияния на коэффициент поглощения  $\text{Bi}_{12}\text{GeO}_{20}$ .

Известно, что коэффициент поглощения определяет максимально допустимую рабочую длину устройства, использующего этот материал. Для таких устройств, как PROM, важно иметь не слишком тонкий слой материала,

в случае записи голограмм с увеличением рабочей длины растет дифракционная эффективность голограмм. Поэтому очень важно резкое снижение коэффициента поглощения  $\text{Bi}_{12}\text{GeO}_{20}:\text{Al}$  в рабочей области спектра 400—600 нм. Например, при работе на длине волны 420 нм и коэффициенте неравномерности  $m=0,7$  [6] максимально допустимая рабочая длина составит для нелегированного материала 160 мкм, а для легированного 0,1 вес. %  $\text{Al}_2\text{O}_3$  — уже 3,2 мм. При записи голограммы на длине волны 514,5 нм максимально допустимая рабочая длина при легировании 0,1 вес. %  $\text{Al}_2\text{O}_3$  составит около 10 мм, что даст существенный выигрыш в дифракционной эффективности.

#### Зависимость коэффициента поглощения от степени легирования алюминием

Длина волны, нм	Коэффициент поглощения, $\text{см}^{-1}$				
	без добавки $\text{Al}_2\text{O}_3$	с добавкой $\text{Al}_2\text{O}_3$ , вес. %	0,025	0,050	0,075
420	22,0	16,7	12,4	5,1	1,1
441,6	13,7	10,5	7,8	3,3	0,8
514,5	2,0	1,1	0,7	0,6	0,4
632,8	<0,2	<0,2	<0,2	<0,2	<0,2

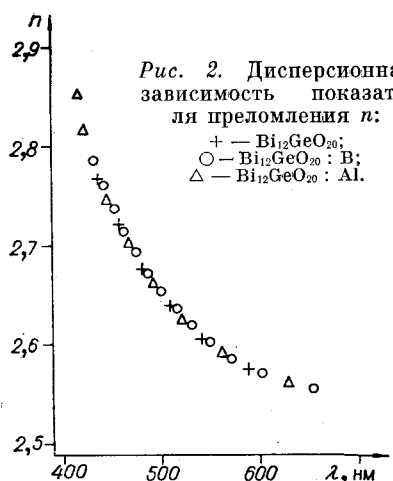
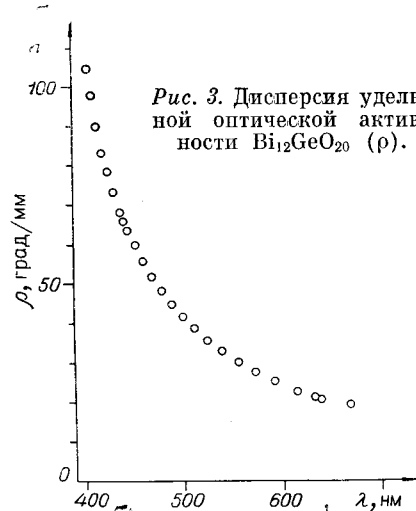


Рис. 3. Дисперсия удельной оптической активности  $\rho$  ( $\text{Bi}_{12}\text{GeO}_{20}$ ).



Учитывая, что электропроводность и фотопроводимость слаболегированного материала практически не ухудшаются по сравнению с нелегированным, можно рекомендовать  $\text{Bi}_{12}\text{GeO}_{20} : \text{Al}$  в качестве перспективной рабочей среды для устройств типа PROM и записи голограмм с высокой эффективностью.

#### ЛИТЕРАТУРА

1. Abrahams S. C., Jamieson P. B., Bernstein J. L. Crystal structure of piezoelectric bismuth germanium oxide  $\text{Bi}_{12}\text{GeO}_{20}$ .—J. Chem. Phys., 1967, vol. 47, № 10, p. 4034—4041.
2. Slobodnik A. J., Sethares J. C. Elastic, piezoelectric and dielectric constants of  $\text{Bi}_{12}\text{GeO}_{20}$ .—J. Appl. Phys., 1972, vol. 43, № 1, p. 247—248.
3. Venturini E. L., Spencer E. G., Ballman A. A. Elasto-optic properties of  $\text{Bi}_{12}\text{GeO}_{20}$ ,  $\text{Bi}_{12}\text{SiO}_{20}$ ,  $\text{Sr}_x\text{Ba}_{1-x}\text{Nb}_2\text{O}_6$ .—J. Appl. Phys., 1969, vol. 40, № 4, p. 1622—1624.
4. Lenz P. V., Spencer E. G., Ballman A. A. Optical activity and electrooptic effect in  $\text{Bi}_{12}\text{GeO}_{20}$ .—Appl. Opt., 1966, vol. 5, p. 1688.
5. Aldrich R. E., Hou S. L., Harvill M. L. Electrical and optical properties of  $\text{Bi}_{12}\text{SiO}_{20}$ .—J. Appl. Phys., 1971, vol. 42, № 1, p. 192.
6. Клипко А. Т., Котляр П. Е., Нежевенко Е. С. и др. Пространственно-временные модуляторы света на монокристаллах  $\text{Bi}_{12}\text{GeO}_{20}$ ,  $\text{Bi}_{12}\text{SiO}_{20}$ .—Автометрия, 1976, № 4, с. 34—43.
7. Hou S. L., Oliver D. S. Pockels readout optical memory using  $\text{Bi}_{12}\text{SiO}_{20}$ .—Appl. Phys. Lett., 1971, vol. 18, № 8, p. 325—328.
8. Peltier M., Misheron F. Volume hologram recording and charge transfer process in  $\text{Bi}_{12}\text{SiO}_{20}$ ,  $\text{Bi}_{12}\text{GeO}_{20}$ .—J. Appl. Phys., 1977, vol. 48, № 9, p. 3683—3690.
9. Hou S. L., Lauer R. B., Aldrich R. E. Transport properties of photoinduced carriers in  $\text{Bi}_{12}\text{SiO}_{20}$ .—J. Appl. Phys., 1973, vol. 44, № 6, p. 2652—2658.
10. Rehwald W., Frick K., Lang G. K., Meier E. Doping effects upon the ultrasonic attenuation of  $\text{Bi}_{12}\text{SiO}_{20}$ .—J. Appl. Phys., 1976, vol. 47, № 4, p. 1292—1294.
11. Ballman A. A. The growth and properties of the piezoelectric bismuth germanium oxide  $\text{Bi}_{12}\text{GeO}_{20}$ .—J. Cryst. Growth, 1967, vol. 1, № 1, p. 37—40.
12. Соболев А. Т., Копылов Ю. Л., Кравченко В. Б., Кучка В. В. Зависимость оптической неоднородности монокристалла германосиликита от условий роста.—Кристаллография, 1978, т. 23, № 1, с. 174—179.
13. Меланхолия Н. Н. Методы исследования оптических свойств кристаллов. М., Наука, 1970.
14. Кизель В. А., Бурков В. И., Красилов Ю. И. и др. О гиротропии кристаллов типа силикита.—Опт. и спектр., 1973, т. 34, № 6, с. 1165—1171.
15. Hennessey P., Vedam K. Piezo- and thermo-optical properties of  $\text{Bi}_{12}\text{GeO}_{20}$ .—I. Optical rotatory dispersion.—J. Opt. Soc. Amer., 1975, vol. 65, № 4, p. 436—441.
16. Efendiev Sh. M., Bagiev V. E., Zeinally A. Ch., Skorikov V. M. Optical transitions in  $\text{Bi}_{12}\text{SiO}_{20}$ .—Phys. Stat. Sol. (a), 1978, vol. 50, № 2, p. K141—K143.
17. Levin E. M., Roth R. S. Polymorphism of bismuth sesquioxide. II. Effect of oxide additions on the polymorphism.—J. Res. Nat. Bur. Std., 1964, vol. 68A, № 2, p. 197.

Поступило в редакцию  
29 марта 1979 г.